# インド洋における海洋変動と 夏季アジアモンスーンや大規模循環場との 関係について

原田やよい、長谷川寛、牛田信吾、藤川典久(気象庁気候情報課)

#### 1. はじめに

2009年夏季のインドモンスーン領域における対流活動は非常に不活発となった。本稿では、2009年夏季のアジアモンスーン域における対流活動や大気循環場の特徴を報告し、昨年度行ったインド洋の対流活動と大気循環場との関係に関して行った統計調査の結果(原田ら、2008)と比較を行う。また、2009年6月における大気循環場や海面水温の解析結果から、インドモンスーン域において記録的に不活発となった要因について考察する。

### 2. データと解析手法

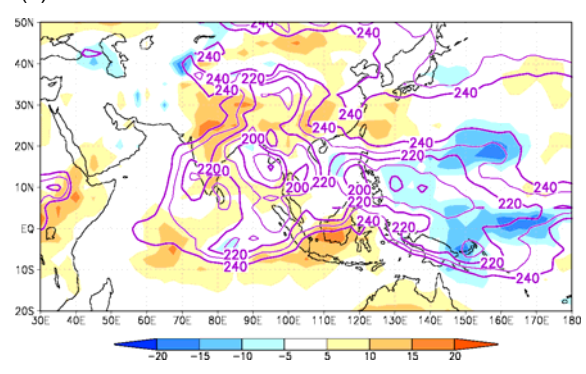
調査に使用した大気データは、JRA-25 (Onogi et al., 2007)とJCDASの6時間値、海面水温(SST)はCOBE-SST(気象庁 2006)、対流活動の指標として、米国大気海洋庁提供の外向き長波放射量(以下 OLR)を用いた。JRA-25/JCDAS、OLRについては7日平均を施したものを用意した。

原田ら (2008) で行った統計調査では、 対流活動の指標として、7日平均値のOLR を5°S-EQ、50°-75°Eの領域で平均し規格 化して-1を掛けたもの (以下、WIOLR) を用 いた。WIOLRの指数とJRA-25/JCDAS、COBE-SSTとの時間ラグ回帰係数を計算した。なお、 調査手法の詳細については、原田ら (2008) を参照されたい。

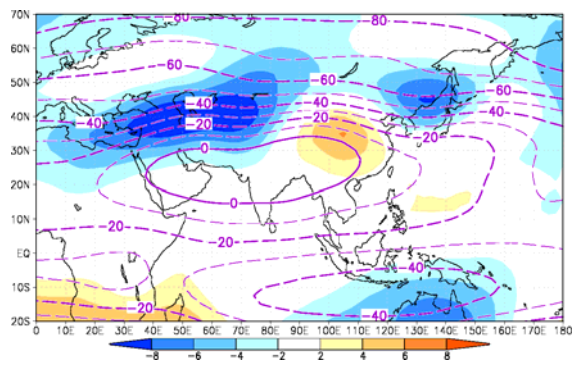
#### 3. 2009年夏季のアジアモンスーンの特徴

対流活動の指標として図1aに2009年6 ~9月平均のOLRとその平年偏差を示す。インド亜大陸、インド洋の赤道域やインドネシア付近の広い範囲でOLR正偏差が見られ、特にインド亜大陸の正偏差が明瞭だった。これは、インドモンスーン域では対流活動がかなり不活発であったことを示している。一方、北西太平洋モンスーン域ではOLR負偏差域が分布し、対流活動が活発であり、アジアモンスーンの対流活動の東偏傾向が顕





#### (b)PSI200



(c)PSI850

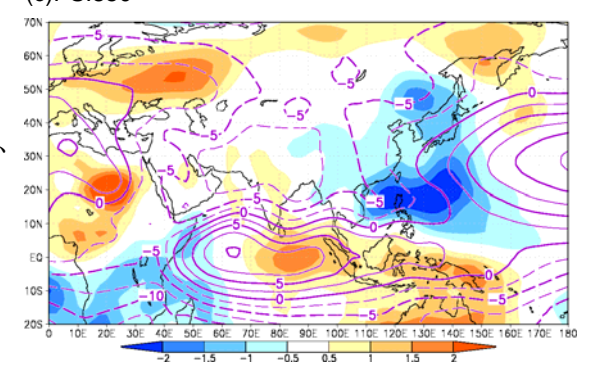


図1 2009 年 6 ~ 9 月平均場の(a) 0LR(等値線) と0LR平年偏差(陰影)、(b) 200hPa流線 関数(等値線)とその平年偏差(陰影)、 および(c) 850hPa流線関数(等値線)と その平年偏差(陰影)。(a)、(b) および (c) の等値線間隔はそれぞれ10Wm<sup>-2</sup>、10 ×10<sup>6</sup>m<sup>2</sup> s<sup>-1</sup>、2.5 ×10<sup>6</sup>m<sup>2</sup> s<sup>-1</sup>。平年値の統 計期間は1979~2004年。

著だったことを示している。次に対流圏上 層の循環を見ると(図1b)、パミール高原 付近から中央アジア、地中海に至る明瞭な 低気圧性循環偏差が見られている。これは インドモンスーン域における対流活動が不 活発だったために、チベット高気圧が平年 より南偏していたことに対応しており、同 領域の低気圧性循環偏差はインドモンスー ンが特に不活発だった6月に最も顕著だっ た。一方、対流圏下層の循環について見る と (図1c)、対流活動が活発だった北西太 平洋域では低気圧性循環偏差が明瞭となっ ているが、インド亜大陸を中心に高気圧性 循環偏差が分布した。このことは同領域で、 特に6月において対流活動が平年より不活 発でモンスーン低気圧の発達もあまり見ら れなかったことと整合している。

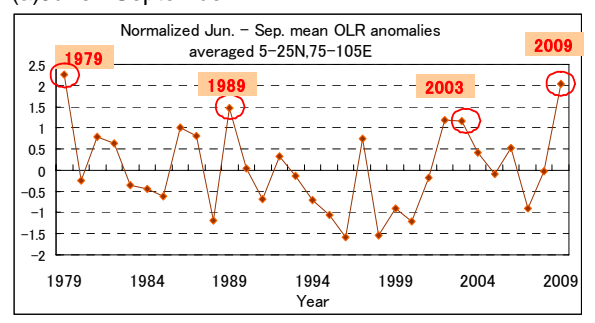
図 2 には  $6 \sim 9$  月および 6 月の0LRを5°-20°N、50°-105°Eの領域で平均し、規格化した値の年々変動を示す。2009年は、 $6 \sim 9$  月平均では 1979年に次ぐ 2 位となり、極めて顕著な値であったことがわかる。また 6 月平均において明瞭な対流不活発を示した年は、1983年、1993年、1997年、2003年といずれも日本のいずれかの地域において、夏の天候が不順となった年であることが非常に興味深い。

## 4. インド洋の対流活動に関する統計調査 結果について

原田ら(2008)で行った統計調査では、 全体的な特徴として、5月末から6月前半 にかけての期間と、6月下旬から7月上旬 にかけての期間とで、WIOLR ピーク前後の 大気循環場や海面水温(SST)の特徴に大き な違いが見られた。

特に、5月末から6月前半には、インド 洋赤道域で高 SST、西部太平洋でも高 SST が統計的に有意となっていた。またインド 洋西部の対流活動活発ピークに先行して、 対流圏下層ではアラビア海、ベンガル湾で 高気圧が発達し、その南方で水蒸気フラッ クスの収束が強まり、より赤道域に近い緯 度帯で対流活動が活発化し始めるという特 徴が見られた。更に、インド洋西部の対流 活動活発ピーク後には、ベンガル湾におけ る北進モードの弱化、オンセットの遅れが

#### (a)June - September



#### (b)June

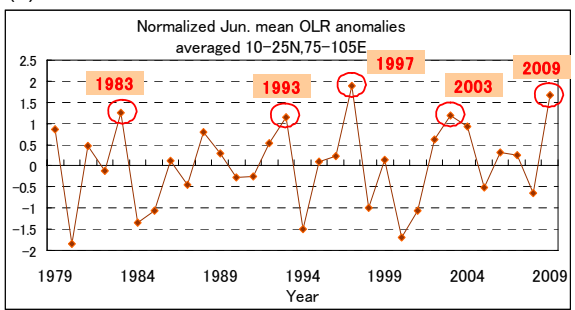


図 2 インドモンスーン領域 (5°-20°N、 50°-105°E) で領域平均、規格化した 0LR 平年偏差。規格化に用いた標準偏差の計 算期間は 1979~2008 年。

#### 見られた。

次節で詳細に述べるが、インド洋西部における対流活動がそれほど活発ではなかったことを除くと、これらの統計調査で見られた特徴は、2009年6月に見られた特徴と良く一致していた。

# 5. 2009年6月の特徴と統計調査結果との比較

図3a~3dに、2009年6月8日~14日平均の循環場やSST等の平年偏差図を、図4には6月5日~11日を基準期間としたWIOLRピーク15日前のラグ線形回帰係数分布図をそれぞれ示す。2009年6月下旬から7月上旬にかけては、インド洋赤道域で対流活動が活発になったこと、上記の6月8日~14日という期間は対流活動活発ピークのおよそ2週間前という時期にあたる。

2009年6月8日~14日平均の1000hPa高度平年偏差を見ると、5m以上の領域がインド洋から太平洋の熱帯域で広く見られている。これは、インドネシア付近を中心とした対流活動不活発に対する応答の発達に対応している。また、アラビア海で正偏差

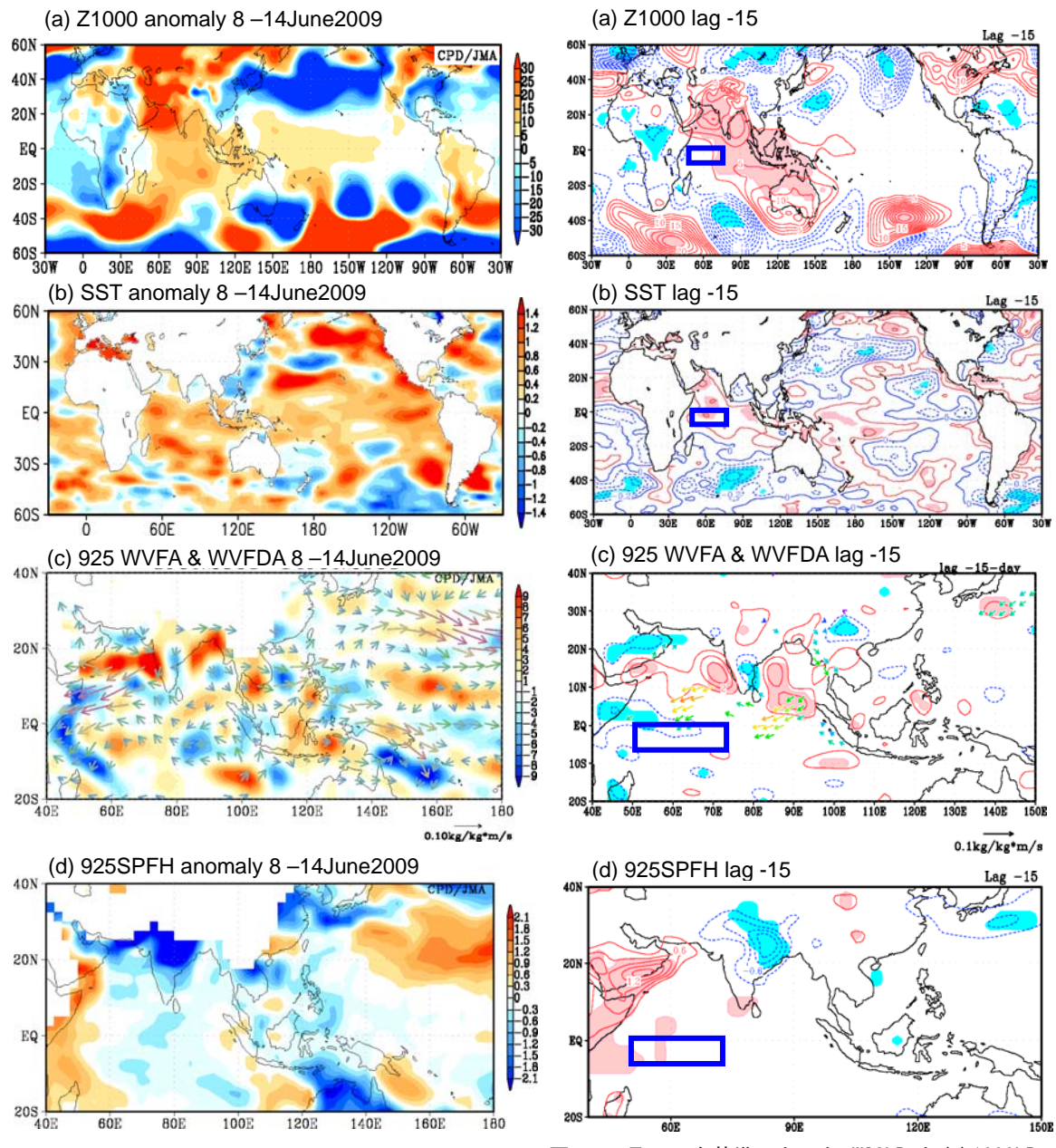


図3 2009 年6月8日~14 日平均の(a)1000hPa高度平年偏差(m)、(b)SST平年偏差(℃)、(c)925hPa水蒸気フラックス平年偏差(kg kg<sup>-1</sup> m s<sup>-1</sup>)とその収束・発散平年偏差(×10<sup>-8</sup>kg kg<sup>-1</sup> s<sup>-1</sup>)、および(d)925hPa比湿平年偏差(kg kg<sup>-1</sup>)。

(c)の矢印のベクトルのスケールは図の右下を参照。平年値の統計期間は1979~2004年。

図4 6月5日を基準日とした WIOLR と(a)1000hPa 高度、(b)SST、(c)925hPa 水蒸気フラックス とその収束・発散、および(d)925hPa 比湿と の15日前ラグ線形回帰係数分布図。

(a) 等値線は 1000hPa高度の回帰係数を表し、等値線間隔は 2.5m。 (b) 等値線はSSTの回帰係数を表し、等値線間隔は  $0.1^{\circ}$ C。 (c) ベクトルは 925hPa水蒸気フラックスの回帰係数を表し、信頼度 95%で統計的に有意な値のみ描画している。等値線は 925hPa水蒸気フラックスの収束・発散の回帰係数を表し、等値線間隔は  $1\times10^{-8}$ kg kg $^{-1}$  s $^{-1}$ 。ベクトルのスケールは図の右下を参照。 (d) 等値線は 925hPaにおける比湿を表し、等値線間隔は 0.3 kg kg $^{-1}$ 。図中の青い四角形はWIOLRの領域  $(5^{\circ}\text{S}-\text{EQ},50^{\circ}-75^{\circ}\text{E})$ を表し、陰影域は信頼度 95%で統計的に有意な領域を表す。

の値が 30m を超えており、同領域で地上高 気圧の顕在化が顕著であったことに対応し ている。図4aの 1000hPa 高度のラグ回帰 係数分布図と比較すると、インド洋からイ ンドネシア付近、アラビア海からベンガル 湾にかけての分布は定性的によく似ている。

SST 平年偏差(図3b)とラグ線形回帰係 数分布図(図4b)を比較すると、インド洋 赤道域における高温偏差の分布や、統計的 に有意ではないものの、ベンガル湾におけ る低温偏差が見られる点が良く似ている。 また西部太平洋赤道域にも高温偏差が見ら れている点も、類似点として挙げられる。 Jiang et al. (2004)は、インドモンスーン 域における境界層の水蒸気分布の南北傾度 (北にいくほど水蒸気が多くなる分布) が 北半球夏季のインドモンスーン域における 対流活動活発域の周期的な北進にとって重 要な要素のひとつであると指摘している。 図3bや図4bに示したようなSST偏差分布 は水蒸気の南北傾度を弱めてしまうと考え られ、対流活動活発域の北進を弱める方向 に作用する可能性がある。

次に、対流圏下層の水蒸気フラックスやその収束・発散について比較する。2009年6月8日~14日平均では(図3c)、アラビア海上での高気圧の発達に対応して、水蒸気フラックスの南向き偏差がアラビア海からインド洋西部で明瞭となっている。また、アラビア海では発散偏差、インド洋西部では収束偏差が明瞭となっている。これらの特徴は、アラビア海からインド洋西部にかけては、ラグ線形回帰係数分布図(図4c)と比較して良く似ている。

更に、対流圏下層の比湿の分布について 見ると、2009 年6月8日~14 日平均では (図3d)、インド北部の比湿の負偏差(乾 燥偏差)が顕著となっている。一方、ラグ 線形回帰係数分布図(図4d)を見ると、イ ンド北部で乾燥偏差が分布しているという 点ではよく一致している。しかしながら、 2009年6月8日~14日平均においては(図 3d)、アラビア海まで乾燥偏差が広がって いる点が異なっている。

2009 年6月8日~14 日平均の循環場や SST の平年偏差図と WIOLR ピーク 15 日前の ラグ線形回帰係数分布図を比較した結果、 両者の大まかな特徴な特徴は非常に良く一 致していた。特に、対流活動不活発に対する応答の発達後に、インド洋西部の対流圏下層で水蒸気収束が起こり、その後インド 洋西部で対流活動が活発となる、という時間的な関係が共通して見られた。インド洋西部の対流活動のピークに対していたことが完かしていたことが特徴的であった。 年6月に関しては、アラビア海における地上高気圧の顕在化、インド北部からアラビア海に対ける地ビア海における地ビア海における地ビア海の対流圏下層において、広範囲に乾燥偏差が見られたことが特徴的であった。

# 6. 統計調査結果と比較した結果の考察 6.1 対流活動不活発に対する応答と SST 東 西分布との関係について

前節で述べた、2009年6月に見られた熱 帯域の対流活動不活発に対する応答と SST の東西分布との関係について考察する。図 5に赤道から 10°N にかけて南北平均した 6月平均の SST 平年偏差の東西分布の比較 を示す。比較に用いたのは、図2b で示し た通り、6月にインドモンスーン領域で特 に対流活動が不活発となった、1993年、1997 年、2003年および2009年である。図中の 平年の分布(図5の緑線)と比較すると、 100°E 付近のスマトラ島西方海上からカリ マンタン島の115°EにかけてのSSTが高く、 平年に比べて東西勾配が急になっている点 が共通している。また1993年を除くと、メ ラネシア付近の SST も平年より高く、スマ トラ島付近と逆向きの東西勾配が急である。 言い換えれば、インド洋東部と西部太平洋 の SST が平年より高く、相対的にミンダナ オ島の南海上 SST が低いということである。 また他のインドモンスーン不活発年の対流 圏下層では、6月のいずれかの時期に、イ ンドネシア付近を中心とした対流活動不活 発に対する応答の発達が見られていた(図 6)。また佐藤(2008)は、大気海洋結合を 仮定した浅水方程式系を解くと、低 SST の 領域と重なって高気圧が発達する赤道ケル ビン波の不安定モードが解のひとつとして 存在することを示した。インドモンスーン 不活発年における、対流活動不活発に対す

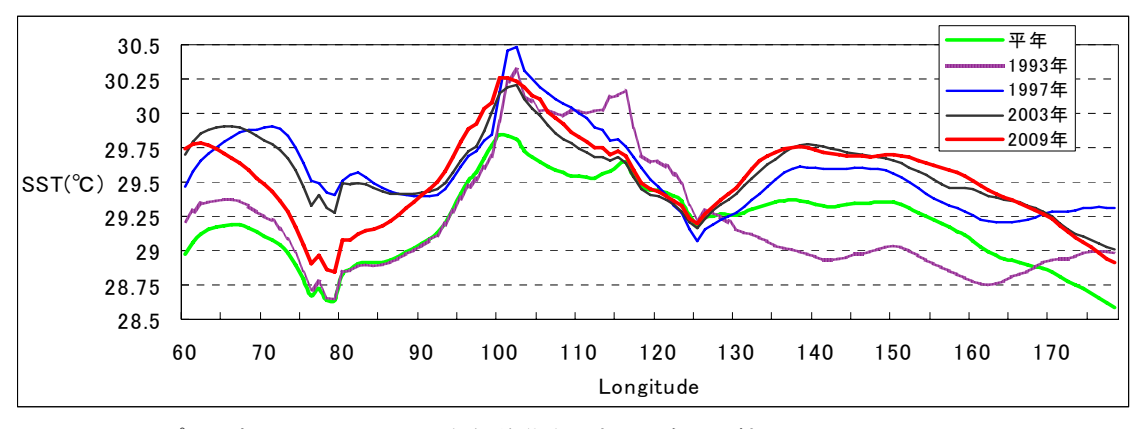
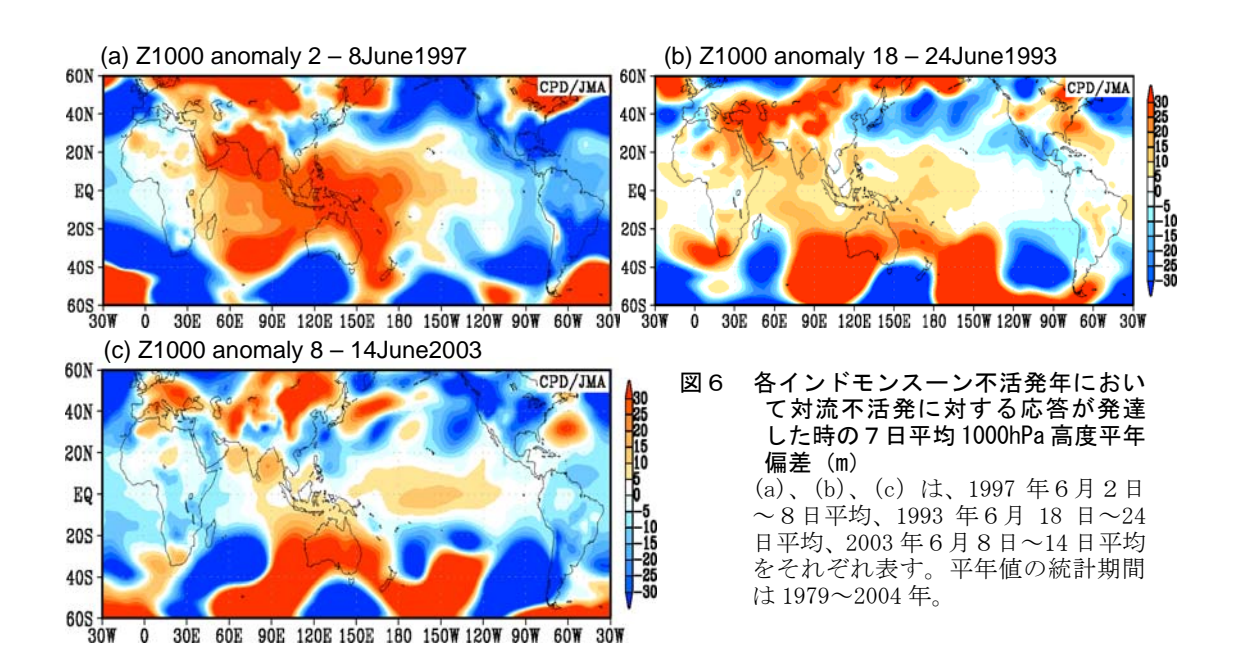


図 5 EQ-10°N で南北平均した SST 平年偏差(°C)の東西分布の比較 平年値の統計期間は 1971~2000 年。

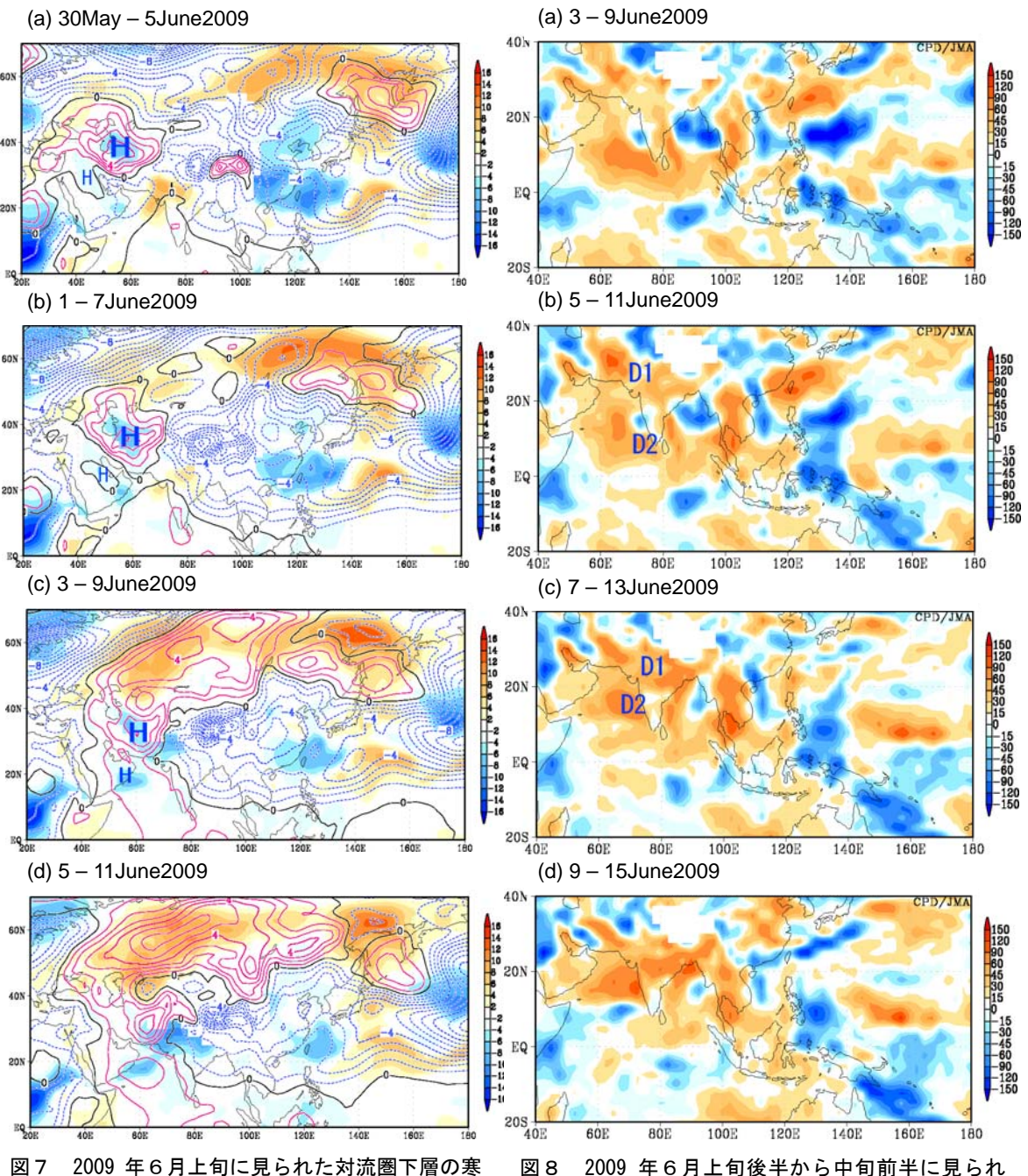


る応答の発達過程を詳しく見ると、いずれもインドネシア付近から比較的小さなスケールの高圧部の発達が始まり、また発達速度についても2、3日のうちに半球スケールまで達していることから、上述の赤道ケルビン波の不安定モードの発達に対応していると推察される。当然のことながら、MJOの東進に伴い、対流活動活発に対する応答の発達も見られることはある。しかしながら、不活発に対する応答に比べると、その発達は弱く、特にインド洋から北進する際に、衰退してしまう事例がよく見られた(図省略)。

# 6.2 アラビア海の顕著な地上高気圧と下降 流偏差の発達過程について

2009年6月の特徴として挙げられたアラビア海の顕著な地上高気圧の成因について 考察を行う。

2009年6月上旬には、カスピ海付近で対流圏下層に寒気を伴った高気圧が顕在化しインド方面へと南東進した(図7、大きい青字H)。カスピ海方面からの高気圧の南下はパキスタンより南では不明瞭となるが、低相当温位塊については(図7、陰影)、インド北部への侵入が明瞭に見られている。更に、アラビア半島上においても、スケールの小さな高気圧の南下が見られている。



この高気圧も寒気を伴っており、6月上旬後半にはアラビア海へ到達している(図7d)。これら低相当温位塊の侵入が見られた後、インド北部やアラビア海で下降流が強まった(図8、D1)。

一方、赤道域から対流活動不活発に対す る赤道ロスビー応答により形成された下降

38 2009 年6月上旬後半から中旬前半に見られた対流圏中層の鉛直流の様子。

陰影は鉛直流平年偏差 (hPa day<sup>-1</sup>) を表す。 平年値の統計期間は 1979~2004 年。 図中の D1 はカスピ海方面から南下してきた下降流 偏差域、D2 は対流活動不活発に対する赤道 ロスビー応答によって生成された下降流偏 差域をそれぞれ表している。

流偏差(図8、D2)が、アラビア海を北上した。下降流偏差域を対流圏下層の負温度偏差域に置き換えて考えると、対流活動不活発に対する赤道ロスビー応答が北進する直前に、アラビア海からインド北部が乾燥化していたことは、負温度偏差の発達とい

う点で非常に重要である。Jiang et al. (2004) の提唱する、水蒸気分布の南北傾 度による対流活動活発域の北進メカニズム という観点から考えると、インド洋赤道域 で SST が高い時に、アラビア海からインド 北部が乾燥化することは、インド洋から同 領域にかけて、水蒸気分布の南北傾度が弱 まることになる。したがって水蒸気の収束 域の北進が阻害され、結果的に負渦度偏差 がより強められることを意味する。対流活 動が赤道域で活発化することでそれに吹き 込む北風偏差が強まり、アラビア海の対流 圏下層の発散が強められることによって地 上高気圧が顕在化したというプロセスも考 えられる。しかしながら、実際の経過を見 た限りでは、アラビア海の地上高気圧の顕 在化は、赤道付近の対流活動活発化より先 行していた。過去のインドモンスーン不活 発年の経過についても確認したが、いずれ も赤道付近の対流活動活発化に先行して、 ベンガル湾やアラビア海で高気圧の顕在化 が見られていた。

以上より、2009年6月に見られたアラビア海における地上高気圧の顕在化には、カスピ海やアラビア半島方面からの乾燥空気の流入と対流活動不活発に対する応答の北進が重要なプロセスであったと考える。

更に、アラビア海で地上高気圧が顕在化 したことが、対流圏上層の循環にどのよう に影響したかを考察する。図9等値線に示 すように、アラビア海からパキスタン付近 にかけての相対渦度の分布は、平年と大き く異なっている。まず平年では(図9b)、 30°N付近の対流圏上層から圏界面にかけて 負の相対渦度が卓越しており、チベット高 気圧に対応している。一方、2009 年は(図 9a)、負の相対渦度の中心は20°N付近まで 南偏し、30°-40°N 帯では正の相対渦度が 顕著となっており、チベット高気圧の発達 の遅れを示している。この顕著な正の相対 渦度の発達した領域と、水平収束により正 の相対渦度が生成された領域とは概ね良く 一致していた。また、他の渦度変化傾向を 表す項は全て符号が逆であったことから (図省略)、対流圏上層における水平収束の 強化が、正の相対渦度の強化の主要因と考 えられる。

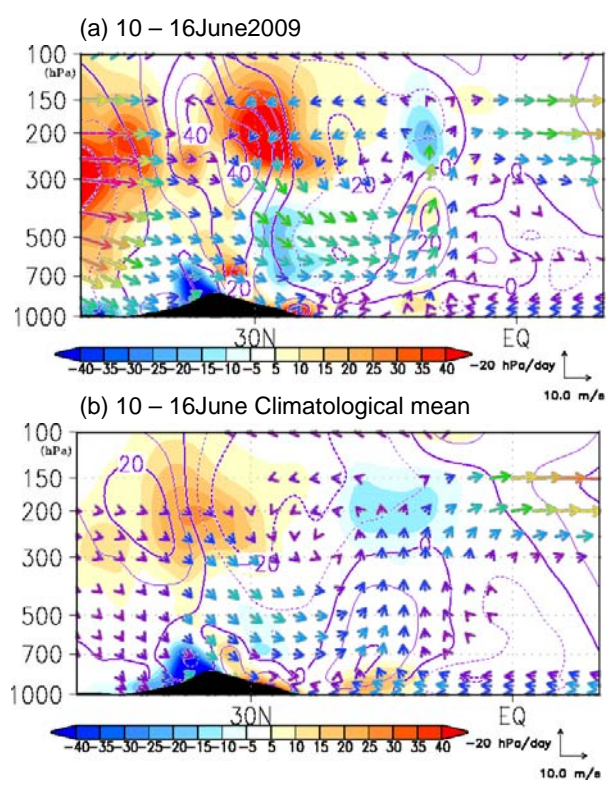


図9 60°-70°Eで平均した風ベクトル、相対渦度 (等値線)および発散による渦度時間変化傾 向(陰影)の緯度-高度断面図。

(a) は 2009 年 6 月 10 日~16 日平均、(b) は平年の 6 月 10 日~16 日平均をそれぞれ表す。ベクトルの水平成分、鉛直成分は風の南北成分( $m s^{-1}$ )、鉛直流平年偏差( $hPa day^{-1}$ )をそれぞれ表す。ベクトルのスケールは図の右下を参照。等値線は相対渦度を表し、等値線間隔は  $10\times10^{-6} s^{-1}$ 。陰影は発散による渦度の時間変化傾向( $\times10^{-6} s^{-1} day^{-1}$ )を表す。平年値の統計期間は、 $1979\sim2004$ 年。

#### 7. まとめと今後の課題

2009年6月のインドモンスーン域における対流活動は非常に不活発となり、OLR 領域平均値で比較すると、1997年に次ぐ顕著なものであった。また対流圏の循環場やSSTに見られた特徴は、原田ら(2008)で行った統計調査の結果と良く一致していた。

SST に関しては、インド洋赤道域のみならず、西部太平洋でも平年より高く、フィリピンのミンダナオ島付近との間に平年より東西の SST 勾配が大きくなっており、インドネシア付近を中心とした対流不活発に対する応答の発達が見られた(佐藤、2008)。

更に 2009 年 6 月の大きな特徴として、ア ラビア海における高気圧の発達が顕著であ ったことが挙げられる。これについては、 赤道域からの対流活動不活発に対するロス ビー応答の発達に加えて、カスピ海やアラビア半島方面からの乾燥空気(低相当温位)の流入が寄与していたと考えられる。

これまでの先行研究では、ユーラシア大 陸上の春の積雪分布とインドモンスーン域 の6月の降水量との関係を論じたものが多 かった。例えば、Yasunari and Tokioka (1991)は、ユーラシア大陸の積雪が多い場 合と平年の場合と境界条件を変化させて行 った数値実験の結果を比較し、その中で多 雪の場合の方が、アジアモンスーンが弱ま ることを指摘している。また Liu and Yanai (2002)は ENSO の影響を取り除くと、1974 年以降は、ユーラシア大陸の春の積雪とイ ンドモンスーン域の6月~9月の降水量と の負の関係が統計的に有意となることを示 した。またユーラシア大陸西部の積雪分布 の変動が少雪年と多雪年との間で最も大き いことを指摘している。更に Buermann et al. (2005)は冬のA0とその後の6月のイン ドモンスーン域の降水との統計的な関係を 示している。

しかし、残念ながら、ユーラシア大陸の 春の積雪や冬の AO が、インドモンスーン域 の降水に対して、どのような物理的プロセ スや現象によって影響を及ぼすかは、未だ 明確に示されてはいない。一方、本調査で 指摘した、カスピ海付近で顕在化した対流 圏下層寒気を伴った高気圧の発達には、そ の上流のヨーロッパにおいて、対流圏上層 のブロッキング高気圧の発達、それに伴っ た対流圏下層における寒気塊の形成が大き く寄与している (図省略)。従って、ユーラ シア大陸の春の積雪域の季節変化の遅速と の関連も含めた、中・高緯度帯における現 象を考慮しつつ、インドモンスーンの季節 進行の遅速のメカニズムを調査・検証して いく必要がある。

#### 参考文献

Onogi, K., J. Tsutsui, H. Koide, M. Sakamoto, S. Kobayashi, H. Hatsushika, T. Matsumoto, N. Yamazaki, H. Kamahori, K. Takahashi, S. Kadokura, K. Wada, K. Kato, R. Oyama, T. Ose, N. Mannoji and R. Taira, 2007: The JRA-25 Reanalysis. *J. Meteor. Soc. Japan*, **85**, 369 - 432.

- Jiang, X., T. Li, B. Wang, 2004: Structures and mechanisms of the northward propagating boreal summer intraseasonal oscillation. *J. Climate*, 17, 1022 1039
- Liu, X. and M. Yanai, 2002: Influence of Eurasian spring snow on Asian summer rainfall. *International J. Climatology*, 22, 1075-1089.
- Yasunari, T. and A. Kito, 1991: Local and remote response to excessive snow mass over Eurasia appearing in the Northern spring and summer climate A study with the MRI, GCM -. *J. Meteorol. Soc. Japan*, **69**, 473 487.
- 佐藤尚毅,2008: 大気海洋結合のある浅水波 方程式系において導出された位相速度の 遅い東進モード. 平成20年度京都大学防 災研究所特定研究集会「異常気象と長期変 動」研究会要旨.
- 原田 やよい,長谷川 寛, 牛田 信吾,藤川 典久,2008:夏季におけるインド洋の対 流活動と大規模循環場や海洋変動との関 係について.平成20年度京都大学防災研 究所特定研究集会「異常気象と長期変動」 研究会要旨.